

بررسی تجربی و شبیه‌سازی هیدروفرمینگ لوله‌های دولایه آلومینیوم-مس با تغذیه محوری*غلامحسن پایگانه^(۱) کرامت ملک‌زاده فرد^(۲) جواد شهبازی کرمی^(۳) اورنگ چائچی سیاھکل^(۴)

چکیده در کاربردهای خاص نظیر انتقال سیالات خورنده با درجه حرارت بالا که لوله‌های یک‌لایه عملکرد مناسبی ندارند، می‌توان از لوله‌های چندلایه استفاده نمود. برای شکل‌دهی این لوله‌ها فذآیند هیدروفرمینگ استفاده می‌گردد. در مقاله حاضر ابتدا شبیه‌سازی فرآیند شکل‌دهی لوله دولایه آلومینیوم-مس با استفاده از روش اجزای محدود با فرض همسانگرد بودن ماده صورت گرفت. سپس با طراحی و ساخت مجموعه هیدروفرمینگ لوله با قابلیت کنترل فشار داخلی و تغذیه محوری بر نتایج شبیه‌سازی‌های عددی صحت‌گذاری گردید. نتایج نشان دادند در بین سه منحنی بارگذاری خطی، مرحله‌ای و اسپیرالین، منحنی بارگذاری خطی بهترین حالت برای فرآیند شکل‌دهی است. همچنین هیدروفرمینگ لوله دولایه از توزیع ضخامت همگن‌تری نسبت به لوله یک‌لایه برخوردار است. نتایج تجربی، نتایج به‌دست آمده از شبیه‌سازی را که برای پیش‌بینی منحنی بارگذاری استفاده می‌گردد، تأیید می‌کند.

واژه‌های کلیدی هیدروفرمینگ لوله؛ اتصالات دولایه؛ منحنی بارگذاری؛ توزیع ضخامت شبیه‌سازی اجزای محدود.

Experimental Study and Simulation of Tube Hydroforming Process of Bi-layered Aluminum-Copper with Axial Feeding

G. Payganeh K. Malekzadeh Fard J. Shahbazi Karami O. Chaechi Siahkal

Abstract Aluminum alloys, due to their light weight and resistant against corrosion, play a significant role in aviation and automobile industries. Hydroforming process can be used for the formation process of Aluminum alloys. In some applications such as in transferring very high temperature corrosive fluids use of multilayered pipes are recommended. This paper is divided in to two parts: in the first part, formation process of a two layered isotrope Aluminum-Copper pipe is simulated using a 3D finite element method. In the second part, to validate the simulation results, an experimental machine of hydroforming pipe with the capability of controlling the internal pressure and axial feeding is designed and built. Linear loading curve was selected as the best loading curve for the formation process based on a comparison between three different types of loading curves (linear, step-wise, and spline). Also, comparison between thickness distribution of hydroforming of single layer and two layered pipes showed that two-layered pipe has more homogenous distribution. According to the results, wrinkles created befor bulging the pipe plays the role of axial feeding very well and the pipes have better thickness distribution. Experimental results verified simulation outcome that can be used to predict loading curves with a reasonable tolerance.

Key Words Tube hydroforming; two-layer connections; loading curve; thickness distribution; Finite element simulation

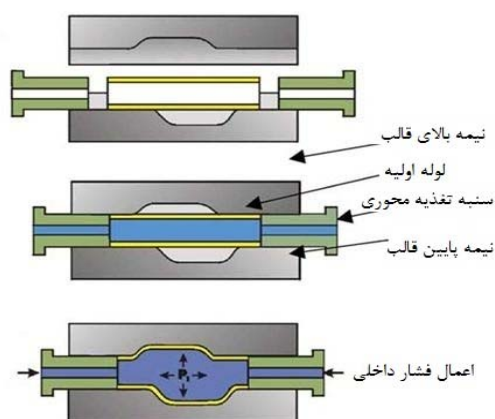
* تاریخ دریافت مقاله ۹۴/۴/۲۷ و تاریخ پذیرش آن ۹۴/۹/۳۰ می‌باشد. DOI: 10.22067/fum-mech.v28i2.48455

(۱) نویسنده مسئول: دانشیار، دانشکده مهندسی مکانیک، دانشگاه تربیت دبیر شهید رجایی، تهران. g.payganeh@srttu.edu

(۲) دانشیار، مجتمع دانشگاهی هوافضا، دانشگاه صنعتی مالک اشتر، تهران.

(۳) مربی، دانشجوی دکتری مکانیک، دانشگاه تربیت دبیر شهید رجایی، تهران.

(۴) کارشناس ارشد، دانشکده مهندسی مکانیک، دانشگاه تربیت دبیر شهید رجایی، تهران.



شکل ۱ شماتیک فرآیند هیدروفرمینگ لوله [۲]

چو و همکاران [3] براساس روابط ریاضی برای عیوب فرآیند مانند کمانش، ترکیدگی و چروکیدگی یک پنجره محدودیت فرآیند را پیشنهاد کردند. آنها در نهایت یک منحنی بارگذاری بهینه برای یک قطعه آلومینیومی تحت بالج آزاد به دست آوردند. پلانکک و همکاران [4] یک روش تحلیلی برای تعیین ضریب اصطکاک در فرآیند هیدروفرمینگ لوله ارائه دادند. براساس این روش می توان ضریب اصطکاک را با استفاده از هندسه لوله تغییر شکل داده شده و خواص ماده، بدون اندازه گیری نیرو به دست آورد. سانگ و همکاران [5] بر روی انتخاب مناسب لوله اولیه و پیش فرم کار کردند. معیار درستی فرآیند حداقل نازک شدگی و چروکیدگی بود. یوان و همکاران [6] یک بررسی عددی و تجربی را بر روی ایجاد چروکیدگی حین فرآیند و تأثیر آن بر شکل پذیری و توزیع ضخامت در محصول نهایی انجام دادند. آنها چروکیدگی را به سه دسته مفید، مرده و منجر به ترکیدگی تقسیم بندی کردند که چروکیدگی مفید باعث افزایش شکل پذیری می شود. چو و همکاران [7] منحنی حد شکل دهی در فرآیند هیدروفرمینگ لوله را تحت شرایط متفاوت بارگذاری بررسی کردند.

در زمینه هیدروفرمینگ لوله های دولایه و کامپوزیتی نیز تحقیقاتی در سال های اخیر صورت گرفته است، وانگ و همکاران [8] مقاله ای در مورد تکنولوژی

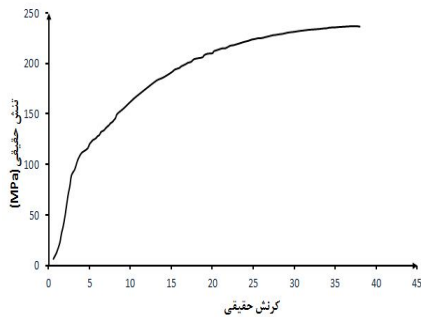
مقدمه

اگرچه فرآیند هیدروفرمینگ لوله از دهه اخیر در صنعت مورد توجه قرار گرفته است ولی پیشینه پیشرفت های روشی و نظری آن به سال ۱۹۴۰ میلادی برمی گردد [1]. هیدروفرمینگ لوله فرآیندی است که مقاطع لوله ای شکل با هندسه های متفاوت را از لوله گرد اولیه تولید می کند. در سال های اخیر، استفاده از محصولات فرآیند هیدروفرمینگ در صنایع هوایی و خودروسازی، به دلیل مزیت هایی که نسبت به محصولات فرآیندهای سنتی دارند، افزایش یافته است. از جمله مزیت های این فرآیند می توان به یکپارچه بودن محصول، کاهش وزن، چقرمگی و استحکام ساختاری بالا، پایین تر بودن هزینه ابزار، نیاز کمتر به عملیات اضافی و دقت ابعادی بالا اشاره کرد. این فرآیند دارای محدودیت هایی از قبیل، محدود بودن حداکثر فشار و نیروی محوری تأمین شده توسط سیستم و به وجود آمدن عیوبی مانند ترکیدگی، کمانش و چروکیدگی است. یک سیکل معمولی فرآیند در حدود ۱۵-۱۰ ثانیه است که از سایر فرآیندهای شکل دهی کندتر است. اما با در نظر گرفتن حذف عملیات اضافی مورد نیاز برای قطعات مانند موتناژ و جوشکاری و هم چنین هزینه قالب و تجهیزات بالاتر، فرآیند هیدروفرمینگ به ویژه برای حجم تولید متوسط از نظر اقتصادی مقرون به صرفه است.

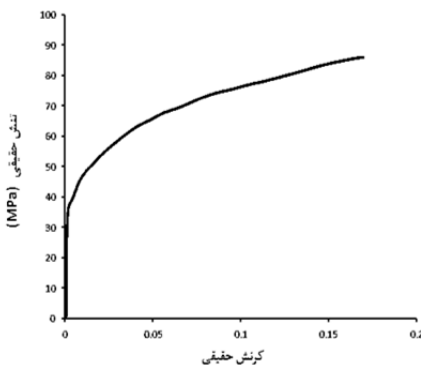
هیدروفرمینگ لوله را می توان، مطابق شکل (۱)، به عنوان فرآیندی تعریف کرد که عملیات آن با قرار دادن یک لوله مستقیم یا خم شده در درون قالب شروع می شود. سپس دو انتهای لوله آب بندی شده و لوله در اثر اعمال هم زمان فشار داخلی سیال و تغذیه محوری شکل حفره قالب را به خود می گیرد. معمولاً آب به همراه یک مکمل ضد خوردگی برای اعمال فشار داخلی مورد استفاده قرار می گیرد.

هیدروفرمینگ لوله طراحی گردید که توسط آن لوله‌های کامپوزیتی شکل‌دهی و نتایج تجربی خوبی به دست آمد.

جنس لوله. موفقیت کلی در فرآیند هیدروفرمینگ بستگی زیادی به خواص ماده لوله دارد. ویژگی‌های ماده مانند ترکیب، نوع جوش، مقاومت کششی و حد تسلیم، انعطاف‌پذیری و ناهمسانگردی باید قبل از فرآیند تعیین شده باشند. در این مقاله برای جداره خارجی آلومینیوم مطابق استاندارد ASTM A ۱۰۵۰ A و برای جداره داخلی لوله مسی مطابق استاندارد ASTM ۱۱۰۰۰ در نظر گرفته شده است. براساس آزمون کشش لوله‌ها که در آزمایشگاه خستگی و شکست پژوهشکده صنایع هوایی انجام شد، نمودار تنش- کرنش مواد به دست آمده در شکل‌های (۲ و ۳) نشان داده شده است. هم‌چنین خواص مکانیکی و مشخصات لوله‌های داخلی و خارجی به ترتیب در جدول‌های (۱ و ۲) آورده شده است [10].



شکل ۲. نمودار تنش-کرنش لوله داخلی از جنس مس



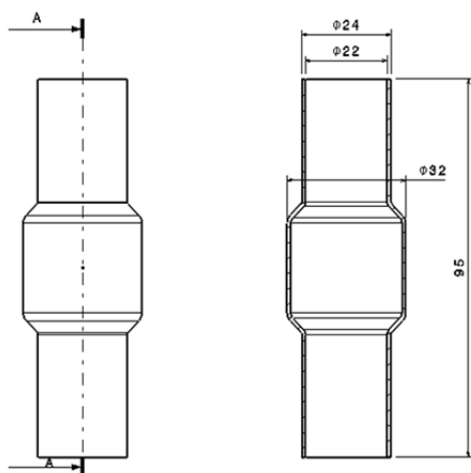
شکل ۳. نمودار تنش-کرنش لوله خارجی از جنس آلومینیوم

هیدروفرمینگ لوله‌های دوفلزی منتشر کردند. در کاربردهایی نظیر تولید نفت، نیروگاه‌های اتمی و پالایشگاه‌ها باید از لوله‌های مقاوم به خوردگی استفاده شود. برای این که استحکام مکانیکی و چقرمگی لوله‌ها تأمین شود، باید از ضخامت‌های بالا استفاده نمود که باعث بالا رفتن قیمت این لوله‌ها می‌گردد. به همین علت لایه داخلی که با سیال در ارتباط است را به ضخامت حدود ۲ تا ۳ میلی‌متر از آلیاژ مقاوم به خوردگی در نظر گرفته و لایه خارجی را برای مقاومت مکانیکی از فولاد ارزان قیمت در نظر می‌گیرند. برای ایجاد اتصال بین دولایه می‌توان از روش‌های متالورژیکی نظیر اکستروژ مشترک، نورد گرم و یا اتصال دادن با انفجار و یا روش‌های مکانیکی نظیر فرآیند هیدروفرمینگ استفاده نمود. در این مقاله فرآیند هیدروفرمینگ این گونه لوله‌ها به صورت تئوری و تجربی تحقیق شده است. اسلام و همکاران [9] شبیه‌سازی و آزمایش‌های تجربی بر مبنای اعمال فشار داخلی و بارگذاری محوری برای تولید اتصالات دولایه X و T شکل بدون درز انجام دادند، کاربردهای صنعتی این لوله‌ها و اتصالات در خطوط ذخیره و ارسال هوا، کشتی‌سازی، صنعت هوافضا و دستگاه‌های تبرید است. در این مقاله شبیه‌سازی توسط نرم‌افزار انسیس برای لوله دولایه با لایه داخلی از جنس مس و لایه خارجی از جنس برنج آنیل شده انجام شده است.

مهم‌ترین پارامتر مؤثر شکل‌دهی در فرآیند هیدروفرمینگ منحنی بارگذاری است. این منحنی نشان‌دهنده نحوه تغییرات فشار داخلی و تغذیه محوری در زمان شکل‌دهی است. از این رو هدف اصلی این مقاله یافتن یک منحنی بارگذاری مناسب برای یک اتصال کامپوزیتی دولایه از جنس آلومینیوم-مس است. در این راستا فشارهای موردنیاز برای شکل‌دهی محاسبه می‌گردد. سپس فرآیند هیدروفرمینگ لوله کامپوزیتی شبیه‌سازی شده تا نحوه شکل‌دهی اتصال بررسی گردد و فرآیند طوری طراحی شود که قطعه بدون عیب تولید گردد. بر پایه نتایج شبیه‌سازی و تحلیلی دستگاه

شبیه‌سازی فرآیند

به منظور دستیابی به یک منحنی بارگذاری مناسب برای تغییر شکل دادن لوله دولایه مسی-آلومینیومی لازم است تغییر شکل لوله در زمان اعمال نیروهای شکل‌دهی بررسی شود. با بررسی تغییر شکل ایجاد شده روی لوله منحنی‌های بارگذاری طوری تغییر داده می‌شوند تا یک قطعه سالم و بدون عیب تولید گردد. با توجه به این‌که دستیابی به این هدف به صورت تحلیلی مشکل است از روش اجزای محدود استفاده شده است.



شکل ۵ ابعاد قطعه نهایی

ابعاد محصول نهایی در شکل (۵) دیده می‌شود. برای تعیین طول اولیه لوله از تئوری حجم ثابت استفاده می‌گردد. در این تئوری فرض بر این است که ضخامت لوله در کل فرآیند ثابت می‌ماند، در نتیجه با محاسبه حجم قطعه نهایی در نرم‌افزار کتیا که تقریباً برابر با 3294 mm^3 است، از معادله (۱) تخمینی از طول اولیه لوله به دست می‌آید.

$$V_2 = V_1 = \pi(D_{\theta 0} - t_0)^2 L_0 \quad (1)$$

$$\rightarrow L_0 = \frac{3293.7}{\pi(24 \times 1.8 - 3.24)} \cong 105 \text{ mm}$$

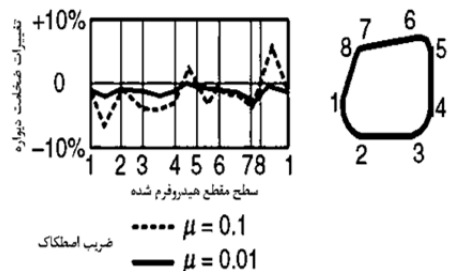
جدول ۱ خواص و ابعاد لوله داخلی از جنس مس

۰/۸	ضخامت (mm)	۳۶۵	[9] ضریب استحکام k(MPa)
۲۲	قطر خارجی (mm)	۸/۹	[9] چگالی $\rho, \text{g/cm}^3$
۱۳۰	تنش تسلیم σ_y (MPa)	۰/۳۶	[9] ضریب اصطکاک، μ
۲۹۰	حداکثر تنش کششی σ_{uts} (MPa)	۸۵	[9] مدول الاستیسیته، E (GPa)
		۰/۳۲	[9] ضریب پواسون، ν

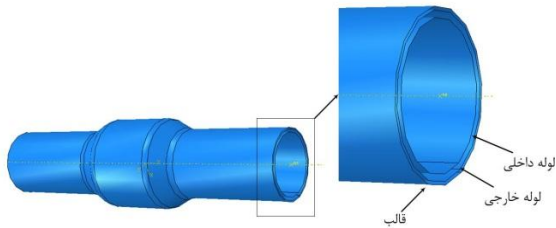
جدول ۲ خواص و ابعاد لوله خارجی از جنس آلومینیوم

۱	ضخامت (mm)	۱۰۵	[9] ضریب استحکام k(MPa)
۲۴	قطر خارجی (mm)	۲/۷	[9] چگالی $\rho, \text{g/cm}^3$
۶۵	تنش تسلیم σ_y (MPa)	۰/۴۰	[9] ضریب اصطکاک، μ
۹۹	حداکثر تنش کششی σ_{uts} (MPa)	۷۰	[9] مدول الاستیسیته، E (GPa)
		۰/۳	[9] ضریب پواسون، ν

تأثیر اصطکاک بر توزیع ضخامت دیواره یک سطح مقطع مشخص، در شکل (۴) نشان داده شده است که توسط شبیه‌سازی به کمک روش اجزای محدود صورت پذیرفته است [11]. با توجه به شکل، افزایش ضریب اصطکاک که به جنس لوله خارجی و دیواره قالب بستگی دارد، سبب کاهش منطقه ای ضخامت دیواره لوله در شعاع نواحی گوشه‌ای قطعات هیدروفورم شده می‌گردد که سبب گلوبی شدن زودرس خواهد شد. بنابراین اندازه گیری‌هایی که در کاهش اصطکاک به کار می‌رود، سبب بهبود شکل‌دهی می‌گردد.



شکل ۴ تأثیر اصطکاک بر تغییر ضخامت دیواره لوله [10]



شکل ۶ مدل هیدروفرمینگ دولایه در آباکوس

منحنی‌های بارگذاری

منحنی بارگذاری خطی. در این نوع بارگذاری مقدار فشار داخلی و تغذیه محوری به صورت کاملاً خطی از ابتدا تا انتهای فرآیند بر لوله دولایه افزایش می‌یابد. این نوع بارگذاری در بسیاری از مراجع مورد استفاده قرار گرفته است [14, 15]. شکل (۷) نمونه‌ای از این نوع بارگذاری را نمایش می‌دهد. به منظور دستیابی به این منحنی بارگذاری خطی ابتدا بدون اعمال تغذیه محوری مقدار فشار نهایی افزایش می‌یابد تا گوشه‌های قالب کاملاً پر شود. پس از تعیین مقدار فشار مورد نیاز برای پر شدن گوشه قالب در شبیه‌سازی مقادیر مختلف تغذیه محوری نیز به صورت خطی هم‌زمان با اعمال فشار به دست آمده استفاده گردید تا نازک‌شدگی کاهش یابد.

منحنی بارگذاری مرحله‌ای. در بارگذاری مرحله‌ای تغذیه محوری از ابتدای فرآیند اعمال نمی‌شود [16]. در انتهای فرآیند هم که فشار کالیبراسیون برای پر شدن گوشه‌ها استفاده می‌شود تغذیه محوری تأثیر چندانی ندارد و مقدار آن تغییر نمی‌کند. نمونه‌ای از این منحنی بارگذاری در شکل (۸) نشان داده شده است. فشار مورد نیاز برای شروع تغییر شکل پلاستیک در لوله، فشار تسلیم P_{yield} نامیده می‌شود. تا زمانی که لوله در ناحیه الاستیک است، تغذیه محوری مورد نیاز نیست و بر روی لوله اعمال نمی‌گردد. فشار شکل‌دهی $P_{bursting}$ مقدار فشار مورد نیاز برای ایجاد تغییر شکل پلاستیک روی لوله و بالج آن تا رسیدن به دیواره قالب است. در زمان

شکل (۶) مدل شبیه‌ساز را نمایش می‌دهد که در ابتدای فرآیند شکل‌دهی قرار دارد. قالب به صورت صلب و لوله‌ها به صورت تغییر شکل‌پذیر مدل شده‌اند. هیدروفرمینگ لوله در زمره شکل‌دهی ورق‌های فلزی طبقه‌بندی می‌شود. در راهنمای نرم‌افزار آباکوس پیشنهاد شده است که اگر نسبت ضخامت به یک شاخص بعد کل سازه کم‌تر از $0/1$ باشد، می‌توان جسم را به صورت پوسته مدل‌سازی کرد. از آنجا که المان‌های چندمنظوره برای مدل‌سازی کرنش‌های غشایی بزرگ در پوسته مناسب هستند، المان S4R که یکی از المان‌های چندمنظوره است برای مدل‌سازی ورق انتخاب شد. این المان دارای چهار گره است و از روش انتگرال‌گیری کاهش یافته استفاده می‌کند. ۸۶۴۰ المان چهارگره‌ای نوع S4R با یک نقطه انتگرال‌گیری روی سطح لوله خارجی و ۷۹۲۰ المان از همین نوع روی لوله داخلی ایجاد شد و از فشار یکنواخت سطحی به جای فشار روغن استفاده گردید. منحنی تنش-کرنش حقیقی لوله‌ها بر طبق نتایج آزمایش‌های کشش در دمای محیط در نرم‌افزار وارد گردید. با توجه به این‌که قالب‌ها با استفاده از مدل صلب تحلیلی مدل شده‌اند، برای تعریف تماس آنها با لوله از الگوریتم زوج تماسی و گزینه سطح به سطح استفاده شده است. قالب در همه جهات مقید شده است و برای اعمال تغذیه محوری قید جابه‌جایی بر روی دو لبه انتهایی لوله‌ها استفاده شده است. مطالعات زیادی در زمینه بهینه‌سازی منحنی بارگذاری انجام شده است [5, 13, 12]. هدف این مقاله بهینه‌سازی منحنی بارگذاری نیست و برای به دست آوردن یک منحنی بارگذاری مناسب منحنی‌های بارگذاری خطی، مرحله‌ای و اسپیرالین بررسی می‌گردد و نتایج مورد مقایسه قرار می‌گیرد.

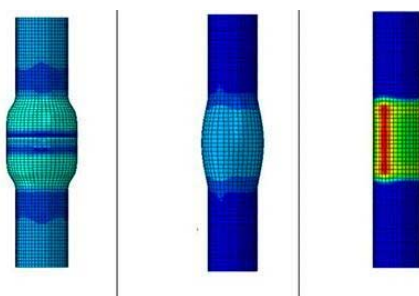
که در آن σ_{μ} حداکثر تنش کششی هر یک از لوله‌ها، t_{01} ، t_{02} ، D_{01} ، D_{02} به ترتیب ضخامت و قطر اولیه لوله‌های داخلی و خارجی و r_b شعاع گوشه قالب است. شکل (۹) تغییر شکل لوله در سه مرحله ذکر شده در شبیه‌سازی را نمایش می‌دهد.

منحنی فشار بر پایه اسپیلاین. در مرجع [17] برای محاسبه منحنی تغییرات فشار از اسپیلاین استفاده شده است. به این منظور از معادله (۵) برای محاسبه منحنی فشار داخلی استفاده می‌شود. در این رابطه T زمان فرآیند، t_0 ضخامت نهایی لوله، d_i قطر نهایی لوله، K ضریب استحکام و α و β نسبت‌های تنش و کرنش هستند که از معادلات (۶) و (۷) محاسبه می‌شوند.

$$P = \left(1.67T^3 - 4T^2 + 3.33T\right) \frac{2t_i}{d_i - t_i} \frac{K \left[\left(\frac{2}{\sqrt{3}}\right) (1 + \beta + \beta^2)^{\frac{1}{2}} 4\alpha \right]}{(1 - \alpha - \alpha^2)^{\frac{1}{2}}} \quad (5)$$

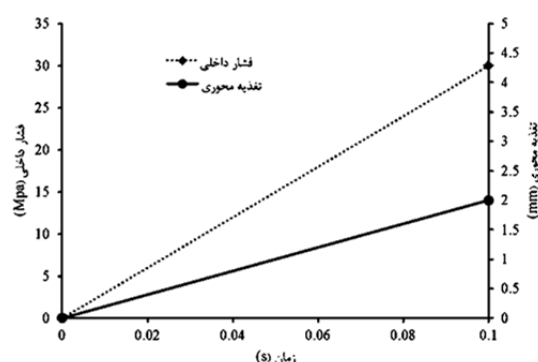
$$\alpha = \frac{\sigma_b}{\sigma_a} \quad (6)$$

$$\beta = \frac{\varepsilon_b}{\varepsilon_a} \quad (7)$$

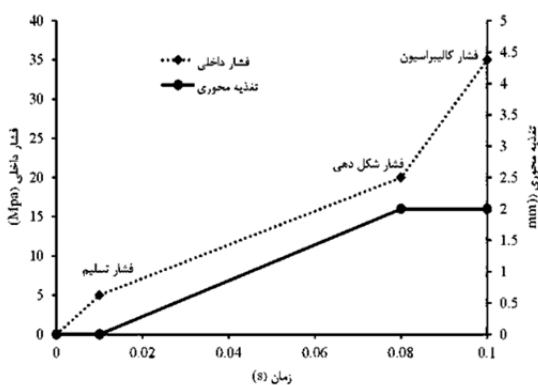


شکل ۹ تغییر شکل لوله در سه مرحله (الف) تسلیم، (ب) شکل‌دهی و (ج) کالیبراسیون

زیاد شدن فشار داخلی از فشار تسلیم به فشار شکل‌دهی برای جلوگیری از نازک شدن دیواره لوله، تغذیه محوری اعمال می‌شود. فشار کالیبراسیون $P_{calibration}$ مقدار فشار مورد نیاز برای پر شدن کامل گوشه‌های قالب است که در زمان اعمال آن، تغذیه محوری برداشته شده و یا مقدار کمی خواهد داشت. برای محاسبه فشارهای معرفی شده می‌توان از معادلات (۲) و (۳) و (۴) استفاده کرد [16].



شکل ۷ منحنی بارگذاری خطی



شکل ۸ منحنی بارگذاری مرحله‌ای به همراه تغذیه محوری

$$P_{yield} = \sigma_{y1} \frac{2t_{01}}{D_{01} - t_{01}} + \sigma_{y2} \frac{2t_{02}}{D_{02} - t_{02}} \quad (2)$$

$$P_{bursting} = \sigma_{u1} \frac{4t_{01}}{D_{01} - t_{01}} + \sigma_{u2} \frac{4t_{02}}{D_{02} - t_{02}} \quad (3)$$

$$P_{calibration} = \frac{2}{\sqrt{3}} \sigma_{u1} \ln \frac{r_b}{r_b - t_{01}} + \frac{2}{\sqrt{3}} \sigma_{u2} \ln \frac{r_b}{r_b - t_{02}} \quad (4)$$

می‌گردد. فشار داخل محفظه شکل‌دهی به وسیله فشارسنج نصب‌شده بر روی پمپ دستی نمایش داده می‌شود. میزان تغذیه محوری و پیش‌روی هم‌زمان سنبه‌ها توسط مدار هیدرولیک (شکل ۱۲) کنترل می‌شود. خط‌کش‌های اهمی نصب‌شده بر روی هر کدام از سنبه‌ها مقدار جابه‌جایی آنها را تشخیص می‌دهد و این مقدار توسط برد الکترونیک مجهز به نرم‌افزار لب‌ویو با یکدیگر مقایسه می‌گردند تا جک‌ها هم‌زمان به پیش‌روی ادامه دهند. با تحریک شیرهای سلونوئیدی ۱ و ۲ مدار مربوط به سنبه‌ای که پیش‌روی بیشتری دارد قطع می‌گردد و فشار پشت جک‌ها توسط شیرهای یک‌طرفه ۵ حفظ می‌شود. توسط شیرهای کنترل جریان ۳ و ۴ می‌توان سرعت اعمال تغذیه محوری هر کدام از سنبه‌ها را به صورت دستی تنظیم کرد. در پایان شکل‌دهی، شیرهای ربع گرد ۶ و ۷ مسیر روغن به تخلیه را باز می‌کنند و بدین ترتیب سنبه‌ها به موقعیت اولیه خود بازمی‌گردند. به منظور تأمین نیروی تغذیه محوری از منبع هیدرولیک ۲۵۰ بار استفاده شده است.

انتخاب جنس اجزای ماشین بستگی به استحکامی دارد که از آنها انتظار می‌رود. محفظه نگهداری سیلندرها، صفحه زیرین قالب و درپوش محفظه از جنس فولاد معمولی ۳۲ st انتخاب شدند. میل بوش راهنمای قالب از جنس فولاد عملیات حرارتی شده معروف به CK۴۵ است. از دو میل بوش راهنما با انطباق HV/n۶ جهت هم‌راستایی دو نیمه قالب استفاده شده است. هم‌راستایی سنبه‌های تغذیه محوری باتوجه به حرکت جک‌ها از موارد مهم و کلیدی ساخت قالب است که با موقعیت‌دهی دقیق پیچ‌های محفظه نگه‌دارنده سیلندرها و صفحه زیرین قالب بر روی صفحه اصلی ماشین تأمین می‌شود. هم‌چنین فاصله طولی هر کدام از سیلندرها از مرکز قالب که تعیین‌کننده طول فاصله آب‌بندی در فرآیند است نیز با دقت بالا به‌طور یکسان تنظیم می‌گردد.

در این معادلات σ_a ، σ_b و ε_a و ε_b به ترتیب تنش در راستای طولی و محیطی و کرنش در راستای طولی و محیطی لوله هستند. کرنش در راستای محیطی لوله از معادله (۸) به دست می‌آید و سپس براساس قانون حجم ثابت و قانون جریان β و α از معادلات (۹) و (۱۰) محاسبه می‌شوند.

$$\varepsilon_a = \ln \left(\frac{d_i - t_i}{d_0 - t_0} \right) \quad (8)$$

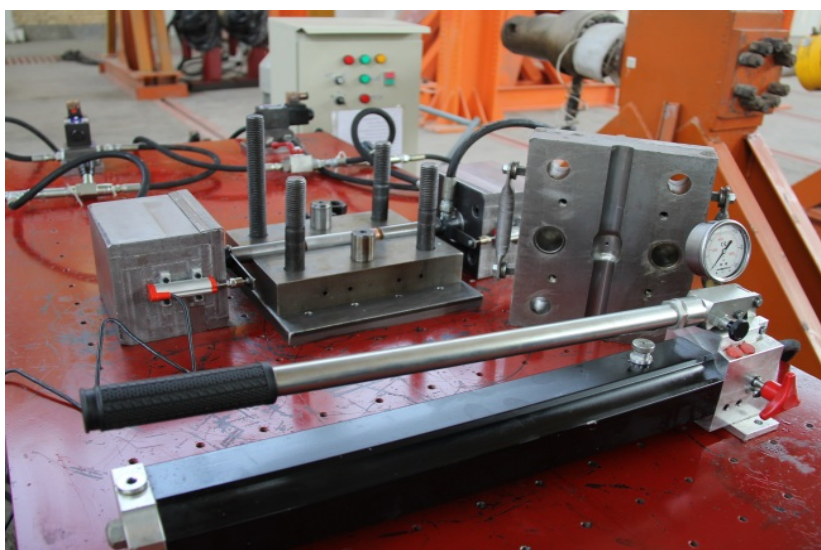
$$\beta = - \left(\frac{\varepsilon_r}{\varepsilon_a} + 1 \right) \quad (9)$$

$$\alpha = \frac{2\beta + 1}{2 + \beta} \quad (10)$$

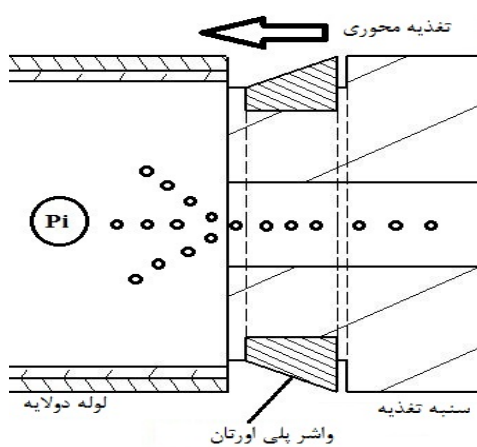
ε_r کرنش در راستای ضخامت لوله است که با فرض حداکثر نازک‌شدگی ۳۰٪ محاسبه خواهد شد. ضخامت نهایی (t_i) برابر با ۷۰٪ ضخامت اولیه (t_0) در نظر گرفته می‌شود. با توجه به این‌که در این مقاله هیدروفرمینگ لوله دولایه بررسی شده است برای محاسبه منحنی فشار، مقادیر مربوط به هر لوله باتوجه به خواص و ابعاد آنها جداگانه محاسبه می‌گردد و سپس باهم جمع می‌گردند. به منظور در نظر گرفتن تأثیر اصطکاک یک ضریب برابر ۱/۳۵ در مقادیر محاسبه‌شده ضرب خواهد گردید [17].

بخش تجربی

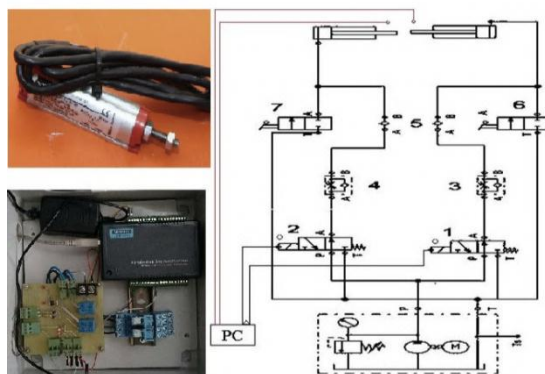
دستگاه هیدروفرمینگ لوله با قابلیت اعمال منحنی‌های بارگذاری متفاوت، طراحی و در پژوهشکده سازمان صنایع هوایی ساخته شد (شکل ۱۰). کوچک‌ترین نشتی در دو انتهای لوله‌ها سبب افت فشار داخلی و عدم موفقیت در فرآیند می‌گردد. آب‌بندی دو سر لوله توسط حلقه‌هایی از جنس پلی‌اورتان صورت می‌گیرد (شکل ۱۱). فشار داخلی توسط پمپ دستی ۷۰۰ بار اعمال



شکل ۱۰ نمای کلی از دستگاه هیدروفرمینگ لوله



شکل ۱۱ شماتیک آببندی دو سر لوله



شکل ۱۲ مدار هیدرولیک و کنترل تغذیه محوری

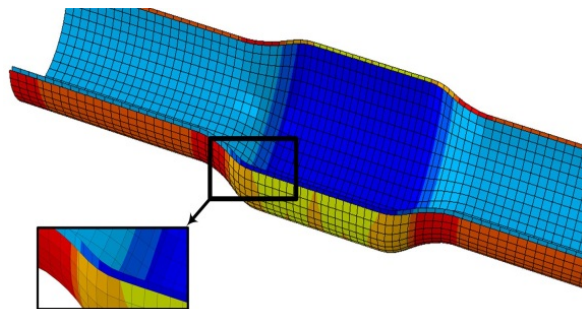
نتایج و بحث

در این بخش نتایج شبیه‌سازی فرآیند هیدروفرمینگ دولایه تحت منحنی‌های بارگذاری مختلف بررسی و باهم مقایسه می‌شوند. به منظور تشخیص بهتر نتایج در شکل دهی لوله دولایه آلومینیوم-مس به بررسی مجزای هر یک از لایه‌ها می‌پردازیم (شکل ۱۳). هم‌چنین هیدروفرمینگ یک لایه و دولایه نیز مقایسه می‌گردد. نتایج شبیه‌سازی با نتایج تجربی نیز مورد مقایسه قرار خواهند گرفت.

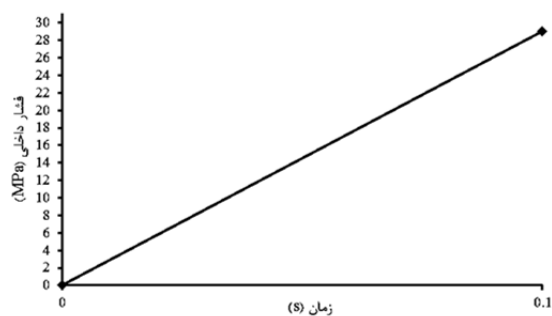
منحنی بارگذاری خطی. همان‌طور که در بخش شبیه‌سازی اشاره شد. منحنی فشار خطی به صورت شکل (۱۴) به دست آمد. در این حالت و بدون اعمال تغذیه محوری حداکثر نازک‌شدگی دیواره لوله آلومینیومی برابر با $57/1\%$ و برای لوله مسی برابر با $49/25\%$ خواهد بود. مشخص است که به دلیل نازک‌شدگی سریع، لوله با فشار کمتری نسبت به زمانی که تغذیه محوری از نازک‌شدگی جلوگیری می‌کند، قالب را پر می‌کند. برای کاهش نازک‌شدگی، منحنی‌های تغذیه محوری مطابق شکل (۱۵) به صورت برابر به دو انتهای لوله وارد گردید. البته با توجه به این که تغذیه محوری از نازک‌شدگی سریع جلوگیری خواهد کرد مقدار فشار مورد نیاز برای پر شدن قالب در هر مقدار تغذیه محوری، متفاوت خواهد بود. مقدار حداکثر فشار داخلی مورد نیاز متناظر با هر

تغذیه محوری در جدول (۳) نشان داده شده است. هم‌چنین در تغذیه محوری‌های بالای ۳ میلی‌متر، نیاز به مقادیر بالاتر از فشار داخلی کاهش می‌یابد زیرا تغذیه محوری زیاد باعث جریان سریع ماده به داخل حفره قالب خواهد گردید.

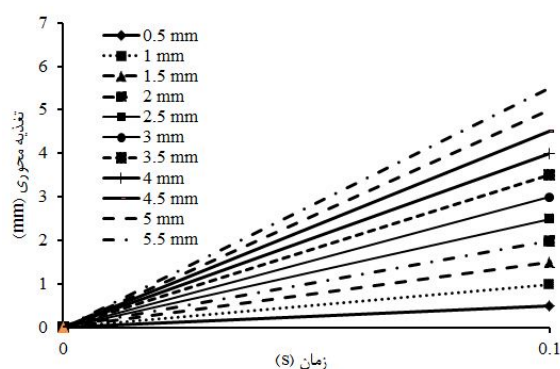
با بیشتر شدن تغذیه محوری نازک‌شدگی لوله‌ها کاهش می‌یابد. نتیجه اعمال منحنی‌های تغذیه محوری مختلف بر درصد نازک‌شدگی لوله‌ها، به همراه نمونه‌های حاصل از شکل‌دهی برای تغذیه‌های محوری ۲ و ۵/۵ میلی‌متر در شکل (۱۶) مشاهده می‌گردد. با تغذیه محوری بیشتر از ۶ میلی‌متر روی لوله چروکیدگی ایجاد می‌شود. در منحنی بارگذاری خطی همیشه نازک‌ترین موقعیت در وسط قطعه نهایی وجود دارد شکل (۱۷). تا قبل از تماس اولیه ناحیه بالج لوله، وسط لوله بیشتر از بقیه نقاط نازک می‌شود. سپس با تماس وسط لوله به دیواره قالب و در نتیجه شکل‌گیری گوشه‌ها، لوله از وسط دچار کشیدگی طولی می‌شود و ضخامت وسط آن کاهش می‌یابد. در حالی که با ادامه فرآیند و اعمال تغذیه محوری تا پایان فرآیند گوشه قالب راحت‌تر شکل می‌گیرد و نازک‌شدگی آن کمتر خواهد بود. در نهایت منحنی بارگذاری خطی مناسب برای شکل‌دهی مطابق شکل (۱۸) به دست می‌آید. با اعمال این منحنی بارگذاری حداکثر نازک‌شدگی لوله آلومینیومی $9/3\%$ و لوله مسی $7/5\%$ خواهد بود.



شکل ۱۳ نتایج شبیه‌سازی لوله دولایه



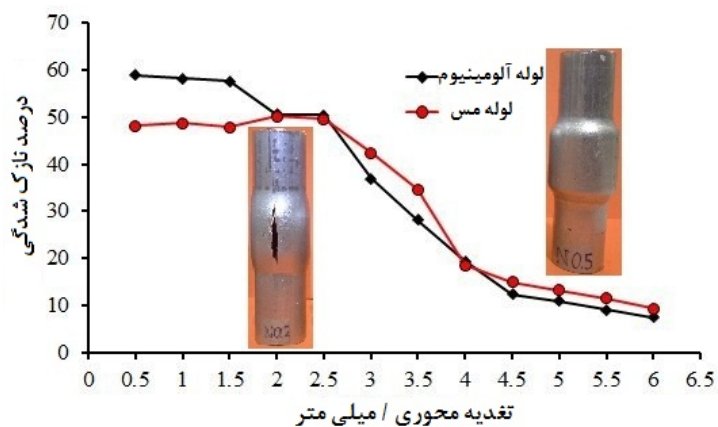
شکل ۱۴ منحنی فشار خطی بدون تغذیه محوری



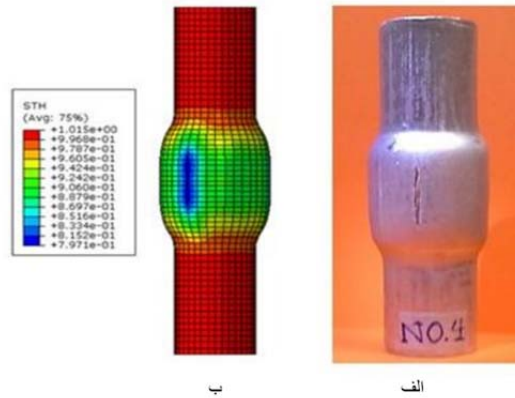
شکل ۱۵ منحنی های تغذیه محوری خطی

جدول ۳ فشارهای داخلی مورد نیاز متناظر با تغذیه محوری

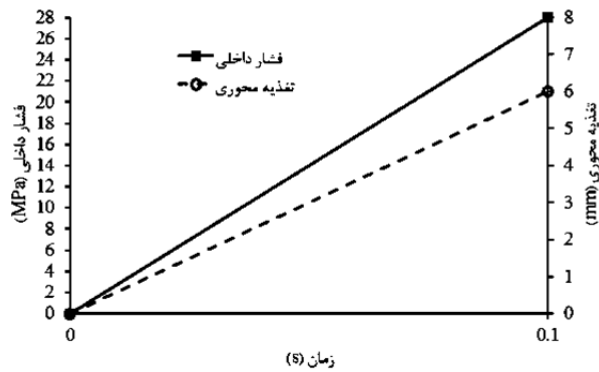
تغذیه محوری (mm)	۱	۲	۳	۴	۵	۶
فشار پر شدن قالب (MPa)	۳۰/۱	۳۰/۳	۳۰	۲۹/۵	۲۹	۲۸



شکل ۱۶ نازک شدگی لوله ها با منحنی های مختلف خطی تغذیه محوری



شکل ۱۷ توزیع ضخامت در لوله خارجی با تغذیه محوری خطی ۴ میلی‌متر: الف) تجربی ب) شبیه‌سازی



شکل ۱۸ منحنی بارگذاری خطی برای کمترین نازک‌شدگی در لوله دولایه

محوری مسیر فشار روی فشار پرشدگی قالب تأثیری نخواهد داشت.

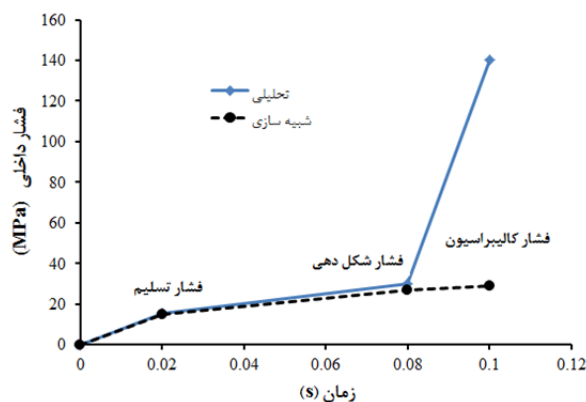
مقدار نازک‌شدگی لوله‌ها برای دو حالت تحلیلی و شبیه‌سازی در جدول (۴) نشان داده شده است که منحنی به‌دست‌آمده از شبیه‌سازی نازک‌شدگی کمتری دارد. البته باتوجه به درصد نازک‌شدگی، مشخص است که تحت اثر هر دو منحنی لوله‌ها قبل از پر شدن گوشه قالب و شکل گرفتن قطعه دچار ترکیدگی شده‌اند که برای رفع این مشکل باید از تغذیه محوری استفاده شود. به‌دلیل این‌که تغذیه محوری در مرحله دوم شکل دهی یعنی بین فشار تسلیم و فشار کالیبراسیون وارد فرآیند می‌شود، هفت مقدار متفاوت برای فشار شکل دهی و فشار تسلیم در نظر گرفته شد. منحنی‌های فشار داخلی در شکل (۲۰) مشاهده می‌شوند که در آنها فشارهای اولیه به‌دست‌آمده از شبیه‌سازی تغییر

منحنی بارگذاری مرحله‌ای. شکل (۱۹) منحنی بارگذاری مرحله‌ای به‌دست‌آمده از روش تحلیلی و شبیه‌سازی را بدون اعمال تغذیه محوری مورد مقایسه قرار می‌دهد. همان‌طور که مشاهده می‌شود تنها تفاوت دو منحنی در مقدار فشار کالیبراسیون است که برای روش تحلیلی بیشتر است و فشار تسلیم و شکل‌دهی در دو حالت تقریباً برابر می‌باشند. البته باتوجه به این‌که در مرحله کالیبراسیون به دو انتهای لوله تغذیه محوری اعمال نمی‌گردد، مقدار فشار نهایی یا کالیبراسیون در ضخامت نهایی تأثیرگذار نیست و هر چه این فشار زیادتر شود بعد از پر شدن گوشه‌های قالب ضخامت قطعه نهایی تغییری نخواهد داشت. مقدار فشار کالیبراسیون به‌دست‌آمده از شبیه‌سازی در حالت تغذیه محوری برابر فشار پر شدن قالب در حالت بارگذاری خطی است. در واقع بدون اعمال تغذیه

تغذیه محوری مقدار نازک‌شدگی کاهش داشته است. اعداد به دست آمده نشان می‌دهد که شکل‌دهی قطعه مورد بررسی با تغذیه‌های کمتر از دو میلی‌متر امکان‌پذیر نیست؛ اما کمترین مقدار نازک‌شدگی مربوط به منحنی فشار P_1 و منحنی تغذیه S_7 بوده است. زمانی که تغذیه محوری لوله‌ها در دو طرف آغاز می‌شود هنوز فشار کافی برای بالاج آنها تأمین نشده است و در نتیجه چروکیدگی آنها قبل از رسیدن به مرحله کالیبراسیون حتمی خواهد بود.

یافته است. به همین ترتیب هفت حالت تغذیه محوری متفاوت از صفر تا ۶ میلی‌متر مطابق شکل (۲۱) بر روی لوله اعمال گردید. در نتیجه ۴۹ حالت متفاوت مورد بررسی قرار گرفت تا قطعه بدون عیب به وسیله منحنی بارگذاری مرحله‌ای تولید گردد.

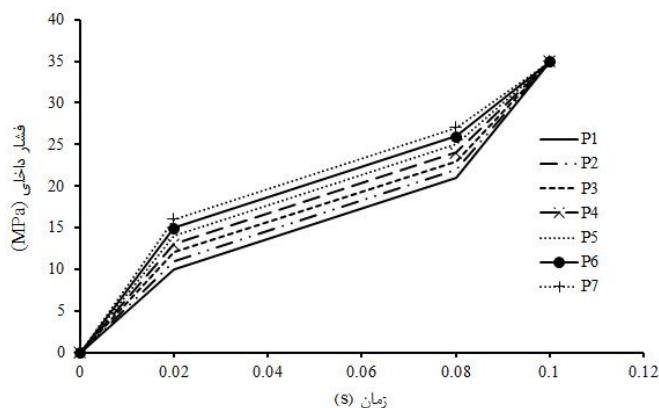
شایان ذکر است که فشار کالیبراسیون در همه حالت‌ها مقداری برابر در نظر گرفته شد. البته این فشار باید با توجه به محدودیت‌های دستگاه هیدروفورمینگ انتخاب شود. زمان فرآیند در همه حالت‌ها برابر ۰/۱ در نظر گرفته شد. برای همه منحنی‌های فشار با افزایش



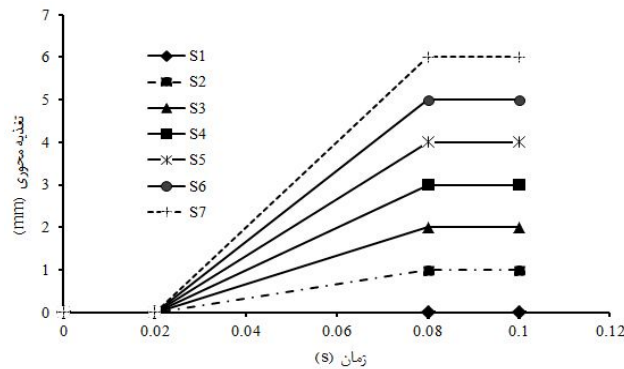
شکل ۱۹ منحنی بارگذاری مرحله‌ای

جدول ۴ درصد مقدار نازک‌شدگی در حالت بدون تغذیه محوری برای دو منحنی بارگذاری مرحله‌ای

لوله مسی	لوله آلومینیومی	نوع منحنی
۵۵/۶	۶۴/۵	تحلیلی
۵۰/۲	۶۰	شبه‌سازی



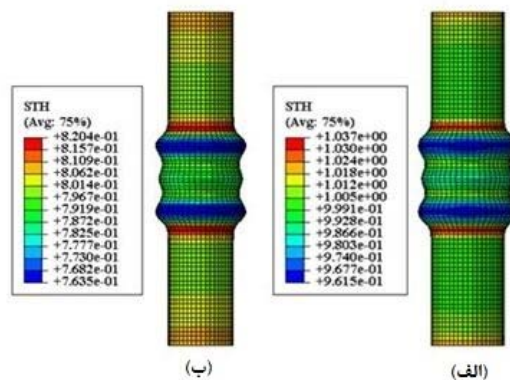
شکل ۲۰ منحنی‌های فشار مرحله‌ای



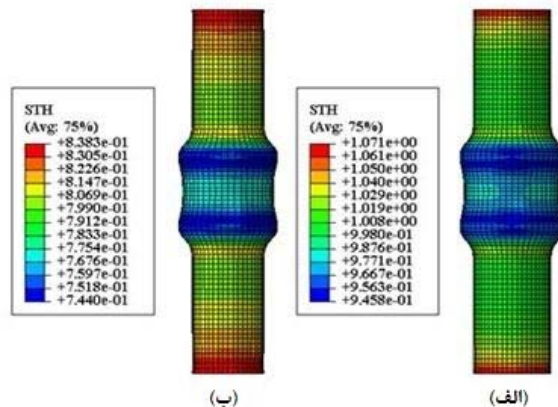
شکل ۲۱ منحنی‌های تغذیه محوری مرحله‌ای

چروکیدگی کاملاً متقارن، همگن بودن خواص لوله‌ها است. در مورد منحنی‌های فشار دیگر نیز با تغذیه محوری زیاد، نازک‌شدگی خیلی کمی رخ داده است. بالاتر رفتن فشار تسلیم و فشار شکل‌دهی احتمال ایجاد چروکیدگی مفید کمتر شده و نازک‌شدگی کمی افزایش داشته است. شکل (۲۳) توزیع ضخامت و شکل لوله‌ها در شروع مرحله کالیبراسیون تحت محنی فشار P_3 و تغذیه محوری S_7 را نشان می‌دهد. مشاهده می‌شود که به علت فشار بالاتر شکل‌دهی، چروکیدگی مفید در وسط قطعه ایجاد نشده است در نتیجه نازک‌شدگی نسبت به منحنی فشار P_1 افزایش داشته است. اگر مقدار تغذیه محوری بیشتر انتخاب شود چروکیدگی ایجاد می‌شود که حتی با فشار بالای کالیبراسیون نیز از بین نخواهد رفت.

شکل (۲۲) توزیع ضخامت لوله‌ها در شروع مرحله کالیبراسیون را نمایش می‌دهد. هر دو لوله دارای چروکیدگی هستند و نازک‌شدگی آنها در این مرحله بسیار کم است. این در صورتی رخ می‌دهد که گوشه‌های قالب تقریباً پر شده و تنها در ناحیه میانی، لوله با دیواره قالب تماس کامل برقرار نکرده است. با شروع مرحله کالیبراسیون و بالا رفتن فشار، چروکیدگی میانی هم از بین می‌رود و قطعه کاملاً شکل می‌گیرد در حالی که نازک‌شدگی زیادی رخ نمی‌دهد و خود چروکیدگی میانی همانند تغذیه محوری به شکل گرفتن قطعه کمک خواهد کرد. در نتیجه مشخص می‌شود چروکیدگی‌هایی که در مرحله کالیبراسیون از بین می‌روند، می‌توانند در کاهش نازک‌شدگی کمک به‌سزایی داشته باشند. این نوع چروکیدگی را می‌توان چروکیدگی مفید نامید [12]. البته در این مورد باید به این نکته توجه شود که لازمه



شکل ۲۲ توزیع ضخامت در شروع مرحله کالیبراسیون تحت محنی فشار P_1 و منحنی تغذیه S_7 : الف) آلومینیوم، ب) مس



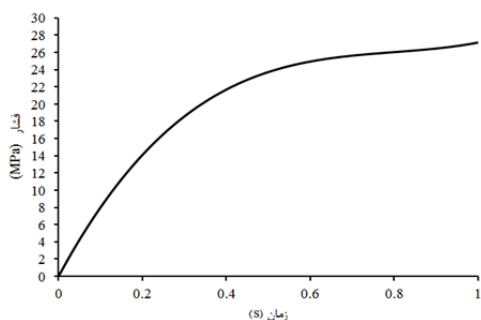
شکل ۲۳ توزیع ضخامت در شروع مرحله کالیبراسیون تحت منحنی فشار P_3 و منحنی تغذیه S_7 : (الف) آلومینیوم، (ب) مس

تغذیه، حداکثر نازک شدگی برای لوله آلومینیومی $1/4$ ٪ و برای لوله مسی $1/17$ ٪ است. به دلیل این که تغذیه محوری تا انتهای فرآیند و کامل شدن قطعه ادامه دارد و انتهای لوله دچار لهیدگی و افزایش ضخامت می شود که این مقدار با افزایش تغذیه محوری بیشتر شده است.

منحنی فشار بر پایه اسپیلاین. دو منحنی فشار بر طبق معادله (۱۱ و ۱۲) به ترتیب برای لوله آلومینیومی و مسی محاسبه گردید. در این جا منظور از T زمان فرآیند است.

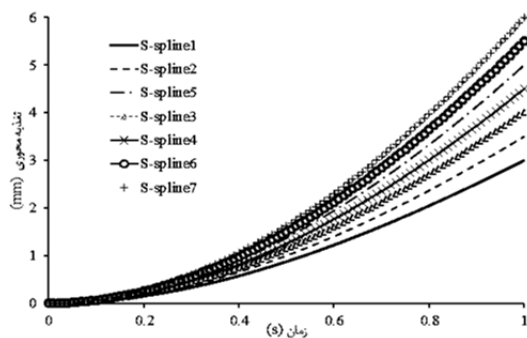
$$P_{AL} = (1.67T^3 - 4T^2 + 3.33T)6.86 \quad (\text{MPa}) \quad (11)$$

$$P_{CU} = (1.67T^3 - 4T^2 + 3.33T)13.25 \quad (\text{MPa}) \quad (12)$$



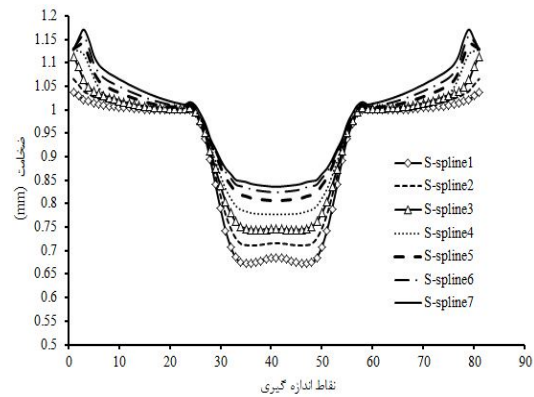
شکل ۲۴ منحنی فشار لوله دولایه بر پایه اسپیلاین

مقدار فشار مورد نیاز بر پایه این روش مطابق شکل (۲۴) از مجموع دو معادله بالا به دست می آید. برای تعیین منحنی تغذیه محوری مناسب از روش آزمون و خطا استفاده می گردد. منحنی تغذیه محوری نیز بر پایه اسپیلاین درجه ۳ است. بر اساس نتایج قبلی، مقدار تغذیه محوری مناسب برای شکل دهی قطعه بیشتر از ۳ میلی متر است و بنابراین در این جا تأثیر هفت منحنی اسپیلاین تغذیه محوری مختلف نشان داده شده در شکل (۲۵) به همراه منحنی فشار محاسبه شده روی توزیع ضخامت مورد بررسی قرار گرفت. توزیع ضخامت در راستای طول قطعه در دو لوله آلومینیومی و مسی بعد از شکل دهی تحت منحنی های مختلف تغذیه محوری در شکل های (۲۶ و ۲۷) مشاهده می شود. با افزایش تغذیه محوری نازک شدگی لوله ها کاهش می یابد و بهترین حالت مربوط به منحنی ۷ اسپیلاین است. با این منحنی



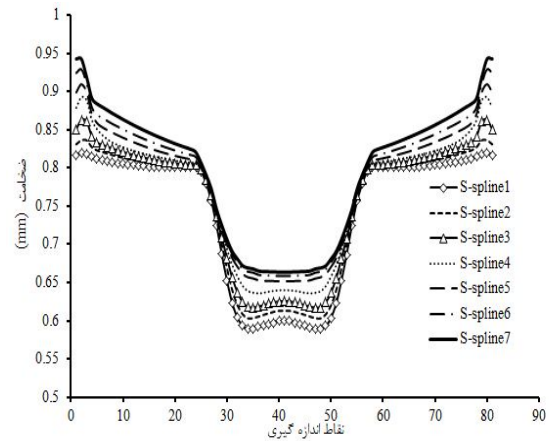
شکل ۲۵ منحنی های تغذیه محوری بر پایه اسپیلاین

اولیه برای دو منحنی بارگذاری خطی و اسپیلاین بالاتر از بارگذاری مرحله‌ای بوده است و این مسئله نشان‌دهنده این است که در زمانی که هنوز فشار داخلی افزایش نیافته است و تغییر شکل پلاستیک رخ نداده نباید تغذیه محوری اعمال شود. هم‌چنین از طرف دیگر اعمال تغذیه محوری در مرحله‌ای که تنها گوشه‌های قالب در حال پر شدن است به کمتر شدن نازک‌شدگی کمک چندانی نمی‌کند.



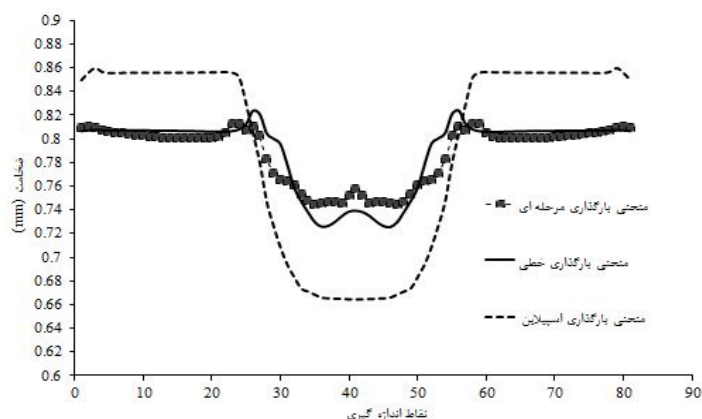
شکل ۲۶ توزیع ضخامت لوله آلومینیوم تحت منحنی‌های تغذیه محوری اسپیلاین

مقایسه هیدروفرمینگ یک لایه و دولایه. در این قسمت توزیع ضخامت قطعه در زمانی که از لایه آلومینیومی و یا مسی تشکیل شده با توزیع ضخامت قطعه دولایه آلومینیومی-مسی مورد مقایسه قرار گرفته است. به این منظور شبیه‌سازی فرآیند با لوله آلومینیومی و مسی با ضخامت ۱/۸ میلی‌متر تحت منحنی بارگذاری مرحله‌ای P_1 و S_7 انجام شد و با حالت دولایه مقایسه گردید. پس از شبیه‌سازی مشخص شد که فشار کالیبراسیون منحنی P_1 برای شکل‌گیری لوله یک‌لایه از جنس مس کافی نبوده و به همین دلیل فشار کالیبراسیون تا ۴۵ مگاپاسکال افزایش داده شد. توزیع ضخامت محصول در حالت‌های ذکر شده در شکل (۳۰) مقایسه گردید. ضخامت در حالت دولایه برابر با مجموع ضخامت هر کدام از لایه‌هاست. باتوجه به این‌که لوله آلومینیومی تنش سیلان پایین‌تری دارد، دو انتهای آن در اثر تغذیه محوری دچار افزایش ضخامت شده است اما باین وجود این لوله بیشترین نازک‌شدگی را در وسط داشته است. لوله یک‌لایه مسی نیز در محلی که بالچ آغاز می‌شود افزایش ضخامت قابل توجهی دارد و نازک‌شدگی بیشتر از حالت دولایه در وسط قطعه داشته است. از بین سه حالت بررسی شده، لوله دولایه توزیع ضخامت همگن‌تری داشته است.

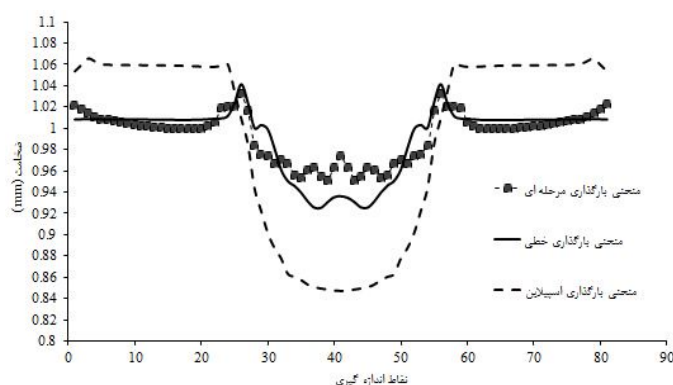


شکل ۲۷ توزیع ضخامت لوله مسی تحت منحنی تغذیه محوری بر پایه اسپیلاین

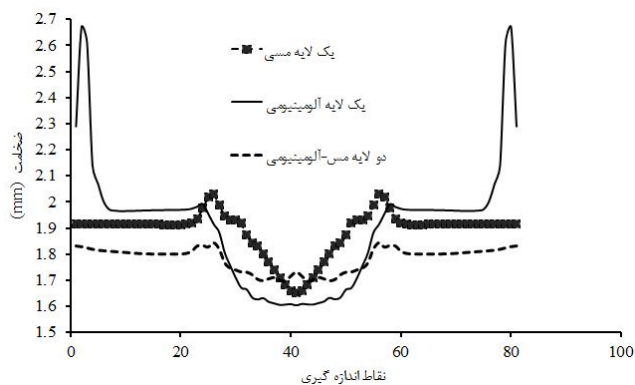
مقایسه سه منحنی بارگذاری. برای هر سه نوع منحنی بارگذاری یک حالت به‌عنوان بهترین منحنی از نظر ایجاد نازک‌شدگی کمتر و بدون ایجاد چروکیدگی انتخاب شد. در اینجا توزیع ضخامت در راستای طولی لوله برای هر سه منحنی انتخاب شده مورد مقایسه قرار می‌گیرد. شکل‌های (۲۸ و ۲۹) توزیع ضخامت را تحت اثر سه منحنی بارگذاری خطی، مرحله‌ای و اسپیلاین برای دو لوله آلومینیومی و مسی مورد مقایسه قرار می‌دهد. منحنی بارگذاری مرحله‌ای کمترین نازک‌شدگی را داشته است، اما در وسط قطعه نوسان زیادی در ضخامت مشاهده می‌شود. افزایش ضخامت نسبت به ضخامت



شکل ۲۸ توزیع ضخامت لوله آلومینیومی تحت اثر سه نوع منحنی بارگذاری در شکل دهی لوله دولایه



شکل ۲۹ توزیع ضخامت لوله مسی تحت اثر سه نوع منحنی بارگذاری در شکل دهی لوله دولایه



شکل ۳۰ توزیع ضخامت قطعه یک لایه و دولایه

به ترتیب ۱ میلی متر و ۲ میلی متر از هر طرف، قطعات به دلیل تغذیه محوری کم و عدم جریان مواد به داخل ناحیه شکل دهی و نازک شدن بیش از حد ترکیده اند. با اعمال تغذیه محوری ۳ میلی متر و ۴ میلی متر در نمونه های سه و چهار به میزان بالاج لوله ها افزوده

مقایسه نتایج تجربی و شبیه سازی. نمونه های تجربی حاصل از منحنی های بارگذاری خطی در شکل (۳۱) نشان داده شده اند که بیانگر اهمیت تغذیه محوری در شکل دهی سالم قطعه هستند. همان طور که ملاحظه می شود در نمونه های یک و دو با اعمال پیشروی

شعاع گوشه قالب به‌درستی، بر روی قطعه شکل می‌گیرد.

ضخامت ۷ نقطه از نمونه سالم پس از برش وایرکات اندازه‌گیری شد (شکل ۳۲)، همان‌طور که پیش‌بینی می‌شد، بیشترین کاهش ضخامت در وسط لوله و بیشترین افزایش ضخامت در دو سر لوله است. توزیع ضخامت در طول نمونه برای نتایج شبیه‌سازی و تجربی در نمودار شکل (۳۳) مشاهده می‌گردد. با محاسبه بیشترین اختلاف مقادیر تجربی و نتایج شبیه‌سازی در این ۷ نقطه حداکثر خطای شبیه‌سازی فرآیند به دست می‌آید. همان‌گونه که در جدول (۵) مشاهده می‌گردد، شبیه‌سازی انجام‌شده در این پژوهش از هم‌خوانی مناسب و میزان خطای قابل‌قبولی (میانگین ۰/۴۳٪) با آزمایش تجربی برخوردار است.

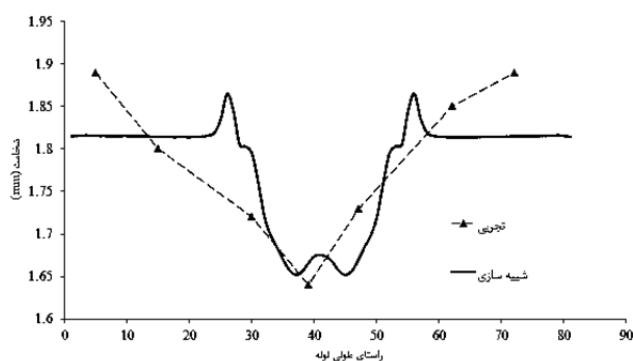
می‌گردد ولی لوله‌ها قبل از پر کردن کامل قالب پاره می‌شوند. تمامی نمونه‌های کامل نشده در راستای طولی دچار ترکیدگی شده‌اند، دلیل این پدیده بالاتر بودن تنش محیطی نسبت به تنش طولی در لوله‌جدار نازک است. هم‌چنین همیشه شروع ترکیدگی از وسط لوله است که دارای بیشترین بالج و قطر است. درنهایت در نمونه پنجم با اعمال ۵/۵ میلی‌متر پیشروی از هر طرف و در مجموع ۱۱ میلی‌متر تغذیه محوری قطعه سالم با کاهش ضخامت ۱۵٪ در لوله مسی و ۱۲٪ در لوله آلومینیومی شکل می‌گیرد که در همین شرایط در شبیه‌سازی درصد نازک‌شدگی به ترتیب ۱۱/۵٪ و ۹٪ است. با اعمال هم‌زمان تغذیه محوری و فشار داخلی در فشار ۲۸ مگاپاسکال تمامی حفره قالب پر می‌شود و



شکل ۳۱ نقش تغذیه محوری در شکل‌دهی سالم قطعه



شکل ۳۲ اندازه‌گیری ضخامت نمونه برش‌خورده



شکل ۳۳ مقایسه توزیع ضخامت تجربی و شبیه سازی

جدول ۵ مقایسه نتایج تجربی و شبیه سازی

۰/۷۴۷-	حداکثر اختلاف مقادیر تجربی و شبیه سازی در یک نقطه (mm)
۱/۷۲	ضخامت اندازه گیری شده در آن نقطه (mm)
۴/۳	حداکثر خطای شبیه سازی فرآیند با تجربی (%)

مشاهده می شود. هم چنین چروکیدگی هایی که در مرحله کالیبراسیون از بین می روند نقش به سزایی در کاهش نازک شدگی لوله ها دارند.

۳. نتایج نشان داد که فشار محاسبه شده از روابط تحلیلی خیلی بالاتر از فشار مورد نیاز برای شکل گیری گوشه ها است به طوری که بر طبق روابط تحلیلی فشار کالیبراسیون حدود ۱۴۰ مگاپاسکال محاسبه شد ولی در آزمایش های انجام شده فشار مورد نیاز ۲۸ مگاپاسکال بود.

نمونه سالم در آزمایش های تجربی با استفاده از منحنی بارگذاری خطی شکل داده شد. تغذیه محوری ۵/۵ میلی متر در دو طرف لوله ها اعمال شد و حداکثر فشار داخلی ۲۸۰ بار به دو لوله وارد گردید. حداکثر نازک شدگی در شبیه سازی برای لوله آلومینیومی ۱۱/۵٪ و برای لوله مسی ۹٪ بود. هم چنین اختلاف بین نتایج تجربی و شبیه سازی های صورت گرفته ۴/۳٪ است که از میزان قابل قبولی برخوردار است.

نتایج تجربی نشان دادند که مهم ترین دلیل ترکیدگی لوله ها، عدم اعمال تغذیه محوری مناسب در

نتیجه گیری

در این مقاله هیدروفرمینگ لوله های دولایه آلومینیوم-مس، به کمک شبیه سازی اجزای محدود مورد بررسی قرار گرفت. هم چنین با استفاده از مجموعه طراحی و ساخته شده برای این فرآیند، هیدروفرمینگ لوله ها در مسیرهای مختلف بارگذاری انجام گرفت. نتیجه گیری به دست آمده از کار تجربی و شبیه سازی به شرح ذیل است:

۱. منحنی بارگذاری خطی با تغذیه محوری ۶ میلی متر و فشار نهایی ۲۸ مگاپاسکال منجر به شکل گیری قطعه سالم با حداکثر نازک شدگی لوله آلومینیومی ۹/۳٪ و لوله مسی ۷/۵٪ خواهد شد. با افزایش تغذیه محوری تا ۳ میلی متر و در نتیجه کاهش نازک شدگی، فشار مورد نیاز برای پر شدن گوشه های قالب افزایش می یابد.
۲. کمترین نازک شدگی در بین منحنی های بارگذاری مربوط به منحنی بارگذاری مرحله ای است (۵/۶٪) برای لوله آلومینیومی و ۷٪ برای لوله مسی) ولی در وسط قطعه نوسان زیادی در ضخامت لوله

r_b	شعاع گوشه قالب		فشار داخلی وارد شده به قطعه و رعایت نشدن منحنی
V_1	حجم لوله اولیه		بارگذاری است.
V_2	حجم قطعه نهایی		
α	نسبت تنش		فهرست علائم
β	نسبت کرنش	d_i	قطر خارجی نهایی
ε	کرنش	d_0	قطر خارجی اولیه
ε_a	کرنش در راستای طولی	E	مدول یانگ
ε_b	کرنش در راستای محیطی	K	ضریب استحکام
μ	ضریب اصطکاک	L_0	طول اولیه لوله
ν	ضریب پواسون	P_{yield}	فشار تسلیم
ρ	چگالی	$P_{calibration}$	فشار کالیبراسیون
σ_{uts}	حداکثر تنش کششی	$P_{bursting}$	فشار شکل‌دهی
σ_y	تنش تسلیم	t_0	ضخامت اولیه لوله
σ_a	تنش در راستای طولی	t_i	ضخامت نهایی لوله
σ_b	تنش در راستای محیطی	T	زمان فرآیند

مراجع

1. Apparatus for making wrought metal T's, *Google Patents, US 2203868 A*. 1940.
2. مسلمی نائینی حسن، هاشمی، سیدجلال، لیاقت، غلامحسین، محمدی، مهران، دیلمی عضدی، حامد، «پیش‌بینی تحلیلی کرنش‌ها و تنش‌های حدی در هیدروفورمینگ لوله‌های آلومینیومی ناهمسانگرد»، مهندسی مکانیک مدرس، ۱۴(۲)، صص ۱۴۰-۱۳۳، (۲۰۱۴).
3. Chu, E. and Xu, Y., "Hydroforming of aluminum extrusion tubes for automotive applications. Part I: buckling, wrinkling and bursting analyses of aluminum tubes", *International journal of mechanical sciences*, Vol. 46, No. 2, pp. 263-283. (2004).
4. Plancak, M., Vollertsen, F. and Woitschig, J., "Analysis, finite element simulation and experimental investigation of friction in tube hydroforming", *Journal of materials processing technology*, Vol. 170, No. 1, pp. 220-228, (2005).
5. Song, W., Heo, S.C., Kim, J. and Kang, B.S., "Investigation on preformed shape design to improve formability in tube hydroforming process using FEM", *Journal of Materials Processing Technology*, Vol. 177, No. 1, pp. 658-662, (2006).
6. Yuan, S., Yuan, W. and Wang, X., "Effect of wrinkling behavior on formability and thickness distribution in tube hydroforming", *Journal of Materials Processing Technology*, Vol. 177, No. 1, pp. 668-671, (2006).
7. Chu, E. and Xu, Y., "Influences of generalized loading parameters on FLD predictions for aluminum tube hydroforming", *Journal of Materials Processing Technology*, Vol. 196, No. 1, pp. 1-9. (2008).
8. Wang, X., Li, P. and Wang, R., "Study on hydro-forming technology of manufacturing bimetallic CRA-lined pipe", *International Journal of Machine Tools and Manufacture*, Vol. 45, No. 4, pp. 373-378, (2005).

9. Islam, M., Olabi, A. and Hashmi, M., "Feasibility of multi-layered tubular components forming by hydroforming and finite element simulation", *Journal of Materials Processing Technology*, Vol. 174, No. 1, pp. 394-398, (2006).
10. ASM International: ASM Handbook: Nonferrous Alloys and Special-purpose Materials, Properties and Selection, ASM publications, 10th ed., Vol. 2, (1990).
11. Dohmann, F. and Hartl, C., "Tube hydroforming—research and practical application", *Journal of Materials Processing Technology*, Vol. 71, No. 1, pp. 174-186, (1997).
12. Mirzaal, M., Seyedkashi, S.M.H., Liaghat, G.H., Moslemi Naeini, H. and Moon, Y.H., "Application of simulated annealing method to pressure and force loading optimization in tube hydroforming process", *International Journal of Mechanical Sciences*, Vol. 55, No. 1, pp. 78-84, (2012).
13. Li, S.H., Yang, Bing., Zhang, Wei-gang., Lin, Zhong-qin "Loading path prediction for tube hydroforming process using a fuzzy control strategy", *Materials & Design*, Vol. 29, No. 6, pp. 1110-1116, (2008).
14. Yuan, S., Wang, Xiaosong, Liu, Gang and Wang, Z., "Control and use of wrinkles in tube hydroforming", *Journal of Materials Processing Technology*, Vol. 182, No. 1, pp. 6-11, (2007).
15. W.-J Song, Kim, Sang-Woo. Kim, Jeong. Kang, Beom-Soo, "Analytical and numerical analysis of bursting failure prediction in tube hydroforming", *Journal of Materials Processing Technology*, Vol. 164, No. 1, pp. 1618-1623, (2005).
16. Asnafi, N., "Analytical modelling of tube hydroforming. Thin-Walled Structures", Vol. 34, No. 4, pp. 295-330, (1999).
17. Ghosh, A., Deshmukh, K. and Ngaile, G., "Database for real-time loading path prediction for tube hydroforming using multidimensional cubic spline interpolation", *Journal of Materials Processing Technology*, Vol. 211, pp. 150-166, (2011).